

法政大学 正員 横山 聰信
東京都港湾局 正員 中西元太郎

1. まえがき 東京都港湾局においては、東京港区内の波浪の観測を昭和38年4月以来実施している。港湾における波浪特性解明の試みはその資料に乏しく、世界中その少ないながらも存在するものは外洋におけるもので、東京港の如く左ソチの短い（約40KM）港内に関するものは殆ど皆無に等しく、またその特性は位置、地形により大差がある。このため東京港において波浪観測を開始するに当つては当面の目的として港内に生ずべき波高の限界を長期の観測結果から想定し、適正な設計波高を得ることとされた。

2. 研究の目的 港区内における波浪の変化状況の解析が本来の目的ではあるが、それに先立ち圧力計による記録から水面波を導びき得る手法の開発が必要である。従来補正係数として波長、波高に無関係に一律に1.2が用いられていていたが、波高比較による段階を経て昭和50年にはスペクトル比較による補正を考慮した。此の報告はその解析結果に基づくものである。

3. 東京港区内の波浪観測の状況 昭和38年に観測用に3ヶ所の station point が設けられた。この内 No.1 は曳航された船に固定して設置されたため、アンカーの周りに移動するなど不正確であつた。昭和39年10月中央防波堤前面に海底に固定された波浪観測塔を設け換設された。これは北緯 $35^{\circ}36'36''$ 、東經 $139^{\circ}48'50''$ に位置している。昭和41年に大沖防波堤が完成し、No.2、No.3 はその用をななくなつた。その後昭和44年に東京灯標位置の北緯 $35^{\circ}33'46''$ 、東經 $139^{\circ}49'53''$ に新たに No.2 が設けられた。設置位置の海底高は、撤去された2ヶ所では AP -5.00m であったが、No.1 では -9.00m、No.2 では -14.80m である。波浪観測用器械は水面波に対しては階段抵抗式波高計式、海中のある深さに対しては MR-MARK III 式の気象序型水压式波高計を用ひる。



後者は連続的記録が可能であるが前者は -1.5m ~ +5.5m の範囲内で 10cm毎の step 式に記録を行うものである。

4. 使用器械の問題 水压式のものは海中にあるため常時観測が可能であるが、事实上海面の波を経て感知し得ないという欠陥をもつてゐる。しかし step gauge は油、塵等の附着などにより正確な資料が得難く、所要の資料を得るためにその維持・保守に、その費用・人手間が著しくかかり、適正を期することは極めて困難である。このため設計の対象とすべき波は圧力から求めた表面波として検討することが望まれている。step gauge は潮汐のように周期の長い波は観測されないよう 20 秒以上の波は感知しない。また極端に短い周期にも反応しない。圧力計も同様であるが感知の限界については差異のあることは予想されることがあり、それも波の質により異なることを念頭に置かなくてはならない。

5. 対象資料に関連した気象状況 今回資料として選ばれたものは昭和47年9月中旬に潮岬附近から上陸し、富山湾へと零々南を西から北を東へと本州を横断した台風20号に関するもので No.2 の AP -7.0m の位置に固定された水压式のものとその水面の step gauge から得た資料の比較によるものである。9月13日マリアナ西方海上に発生した台風20号は北上しつつ15日9時には中心示度が 960mb となるまでに発達した。この台風は更に北上して9月16日18時30分潮岬附近に上陸したが17日未明3時頃には富山湾へと抜け更に21時には北海道西方海上へと一気に北上はしたもの、ここで優勢な太平洋及びオホーツク海の高気圧によりその進路を阻まれ停滞したまま9月19日9時には遂に熱低となり变成了。

東京港 station No.2 では此の台風の接近に伴い16日7~8時からその影響を見られる東を至東南東の風が吹き始め、14時まで波は認められなかったが、16時以降明らかに波が現われ19時には風速も 15m/sec までに高まり、有

義波高で50cm弱に達した。台風岱富山湾に向うにつれ、この風向は東南東-南東-南へと変化し、風速は16日24時から17日8時までの間は22~27m/secを保持する強風となつた。

6. 記録について 記録は毎正時前の10分間毎につき16日23時~17日10時にわたりとられているが以下に水面測定(以下Sと署記する)及び圧力記(以下Pと署記する)による記録の状況を列挙する。

1) 記録紙の平均位置からzero up to zero upを1波長として周期に関して比較するとPでは11秒以上のものは認められず、またSでは此の時間内に15秒以上のものは認められない。

2) 全波数はSのものはPより2割程多く9時を除いては $P/S = 0.77 \sim 0.92$ となり全数では $1139 / 1337 = 0.85$ となつてある。

3) 周期2, 3秒に計数された波数はPはSのものより小さく、特に2秒の場合は全体で13121と1/10を示してある。

4) 4~5秒にP, S共にモードがある。

これは東京湾の特性とみなされる。

5) 5秒周期については3, 6, 7時以降SよりPの方が多く計数されている。

6) 6秒周期については24時を除き何れもPの方が逆に多くなり、この傾向は偶然の域を脱している。

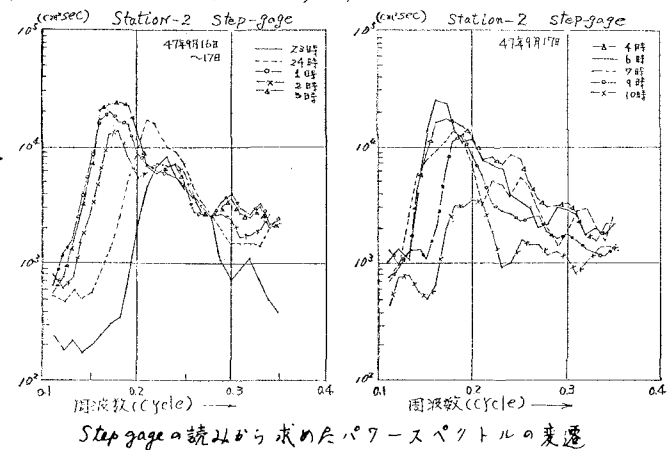
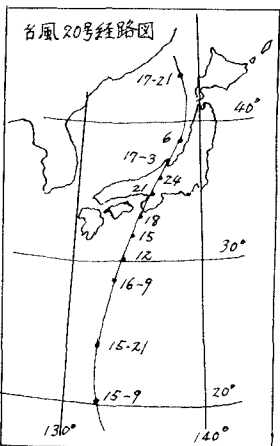
7. 解析結果及び考察 これらの資料からパワースペクトル等を求めるなどして解析を試みた結果を要約すると次のようである。

1) 周波数0.1以下の波は減衰し易く風向の影響も考慮されるが生長過程に於て特に発達し難く、圧力波として特に伝達性を欠く。

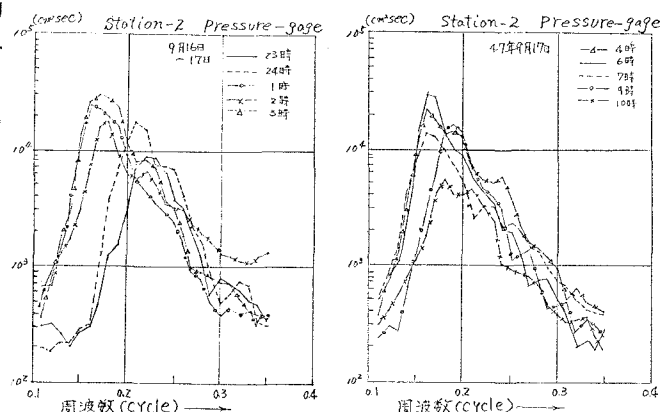
2) 東京港区内で4~5秒の周期の波が卓越して生長する。従つて港区内の設計波の周波数は0.2~0.25と見て良かろう。

3) 周期の長いものは数の上に於いて少ないので実際にはこれまで断定的な結論を下すことは早計であるが6秒周期について見るとPの方がSよりも多く計数されることは不合理であり、周期の異なるエネルギーの波から変化したものとみなさざるを得ない。若しそうであれば波の解析に当たりニヤー性を前提とする従来の方法は不適切であり、單一の周波数の波も他の周波数の波に変化して行くようなノンリニア性を認めざるを得ないのではないか。

4) パワースペクトルは図のように一般的に見れば発達時のエネルギー集中は周波数の大きい方向に起り、エネルギーの分散は周波数の大きい方に向って起るものとみられる。



Step gageの読みから求めたパワースペクトルの変遷



Pressure gageの読みを補正し求めたパワースペクトルの遷移

波から変化したものとみなさざるを得ない。若しそうであれば波の解析に当たりニヤー性を前提とする従来の方法は不適切であり、單一の周波数の波も他の周波数の波に変化して行くようなノンリニア性を認めざるを得ないのではないか。

4) パワースペクトルは図のように一般的に見れば発達時のエネルギー集中は周波数の大きい方向に起り、エネルギーの分散は周波数の大きい方に向って起るものとみられる。